

原著

MR 画像におけるコントラスト・ノイズ比 (CNR) の評価

西沢かな枝（杏林大学医学部放射線医学教室）
蜂屋順一（同）
古屋儀郎（同）

福田信男（放射線医学総合研究所臨床研究部）
遠藤真広（同）

キーワード

CNR

1. 緒言

医用画像の画質評価の為には種々の因子が考えられる。MR 画像においても空間分解能・信号対雑音比等が検討されているが、更に、撮像された画像に対し相対的に評価されてきた概念であるコントラストについて、ノイズの影響を考慮したコントラスト・ノイズ比 (CNR) が定義されている。従来これは二つの臓器・組織の差により評価してきた。^{1),2),3)}

我々は数種の臓器・組織を含む画面全体につき CNR を評価する、言わばグローバルな CNR の評価を撮像方法・緩和時間との関係において試みた。また、その有用性につき、最適パルスシーケンスの推定、機種間の比較への応用性を中心にファントム像及び頭部像について検討した。

2. 方法

T1 値、T2 値をそれぞれコントロールしたファントム材料の水溶液を複数 (N 個) 用意し

て、これらをポリビンに入れ束ねたものを評価用ファントムとする。

ファントムをコロナル方向で撮像し、図 1 に示すようなモザイク様の画像を得る。個々のピクセルを fine ピクセルとし、各濃度のファントム毎に $L \times L$ 個の fine ピクセルの小閑心領域 (small ROI) を設定し coarse ピクセルとする。small ROI の平均値・分散を求めそれぞれ μ_i , σ_i^2 ($i = 1, 2 \dots, N$) とする。 $K \times K (= N)$ 個の coarse ピクセルを仮想的な大閑心領域 (great

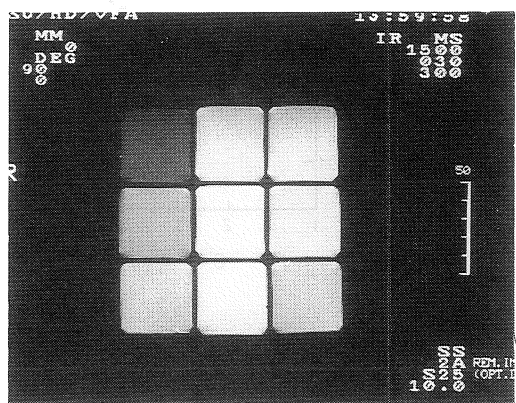


図 1 評価用ファントムの撮影例

原 著

ROI) とし、この平均値・分散をそれぞれ M , S^2 とすれば、複合 data の平均および全分散を求める計算により

$$S^2 = \sum \sigma_i^2 / N + \sum (\mu_i - M)^2 / N \quad \dots \dots \dots \quad ②$$

と表わせる。②式の右辺第一項を ALV (average of local variance), 第二項を GVC (global variance with respect to coarse pixel) とおき, CNR を次式で定義する。

$$\text{CNR} = (\text{GVC}/\text{ALV})^{1/2} \quad \dots \dots \dots \quad (3)$$

こうして定義したCNRは表1のような意味をもつ。

表1 CNRの増加因子

GVC増加	各小ファンタム間の平均値の差は大きい。 組織の差を良く画面上の差としている。
ALV減少	各小ファンタム内ではピクセルのばらつきが少ない。

人体頭部画像の CNR は、正常人ボランティアの頭部の側脳室体部レベルを撮像し、画面中の人体部分全体の ROI をとりこの分散を $(SD_T)^2$ 、

表2 MR装直およびスキャン条件

	Mark-J	MRT-50A
静磁場	磁場強度	0.1T
磁石の種類	常伝導水冷式	超電導
構成	垂直磁場方式	水平磁場方式
イメージング方式	二次元フーリエ変換法	二次元フーリエ変換法
コイル	頭部用：有効視野24cm	頭部用：有効視野25cm

また画面全体に一様の additive noise があるとして人体部分以外の画面、すなわち BG に ROI をとり、この分散を $(SD_{BG})^2$ とし、次式で定義する。

$$\text{CNR} = \left(\frac{(\text{SD}_{\text{T}})^2 - (\text{SD}_{\text{BG}})^2}{(\text{SD}_{\text{BG}})^2} \right)^{1/2} \dots \dots \dots \quad ④$$

T は Target, BG は Back ground を表わす。

3. 装置·材料

実験に使用した MR 装置は Mark-J (旭メディカル 0.1 T, 常伝導) 及び MRT-50 A (東芝メディカル 0.5 T, 超伝導) である。装置・スキャン条件などについて表 2 に示す。モザイクフ

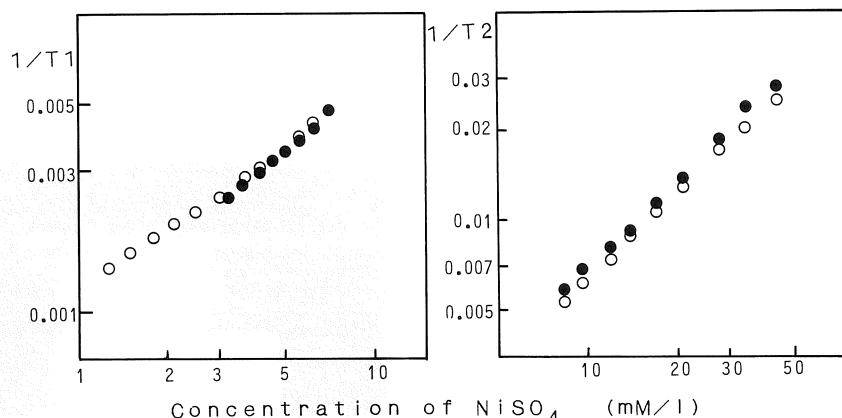


図2 NiSO₄水溶液の濃度とT1, T2測定値

受付年月日 昭和63年11月4日
別刷請求先 (〒181) 三鷹市新川6-20-2 杏林大学医学部放射線医学教室内 西沢かな枝

アントム材料として濃度の異なる NiSO_4 水溶液を用いた。Ni イオンは磁場依存性・温度依存性が殆どないことが Mogan 等によって調べられている⁴⁾。図 2 に NiSO_4 水溶液の濃度と用いた機種による T_1 , T_2 値の測定値を示した。図 2 からも明らかなように NiSO_4 水溶液の T_1 , T_2 値は、0.5, 0.1 T の磁場の強さにはほとんど影響されない。

人体頭部の T_1 値は 0.1 T の装置での T_1 計算画像からの測定によれば 200~400 msec に分布し、0.5 T の装置では約 300~700 msec に分布していた。そこで、0.1 T 用には NiSO_4 7~3.2 mM/l, 0.5 T 用には 4.5~1.1 mM/l に調整し、それぞれの T_1 値を網羅するようファントムを作成しそれぞれ a, b タイプと呼ぶ。 T_2 値は両機種による測定とも人体頭部で 40~200 msec に分布していた。よって T_2 値がこれらの値を示すよう NiSO_4 の濃度を調整し c タイプファントムとした。(表 3)

表 3 ファントムの NiSO_4 水溶液の濃度と T_1 , T_2 値

	T_1	T_2
Mark-J 0.1T	200~400 (7.0~3.2 mM/l) a タイプ	40~200 (43~8.0 mM/l)
MRT-50A 0.5T	300~700 (4.5~1.1 mM/l) b タイプ	c タイプ

用いたパルスシーケンスはスピニエコー(SE)法、反転回復(IR)法で、0.5 T の機種については勾配磁場エコー(FE)法も試みた。スライス厚は 10 mm 一定とし、スキャンマトリックスは 128×128 , 256×256 , 積算回数は 2 回とした。

4. 結 果

(1) SE 画像における CNR

SE 法による c タイプファントム撮影結果の例

MR 画像におけるコントラスト・ノイズ比 (CNR) の評価

として図 3 に TE による CNR の変化を示した。図中実線はシングルエコー、破線はマルチエコーによる値である。マルチエコー撮像での第 2 エコー以降は、信号値ではシングルエコーでの信号値の TE による変化よりも 10~30 % 減少したが CNR については、マルチエコー像では第 4

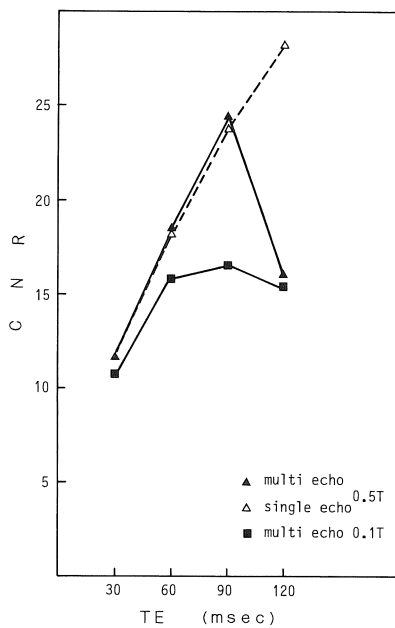


図 3 SE 法による c タイプファントム像の CNR

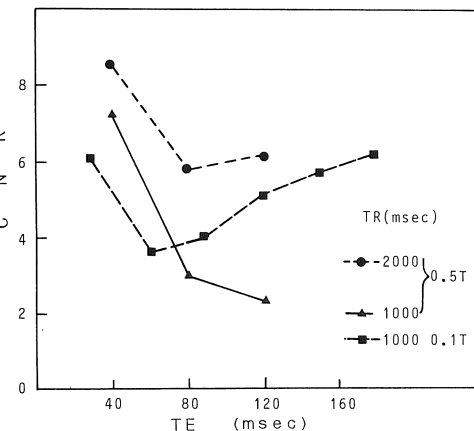


図 4 SE 法による人体頭部像の CNR

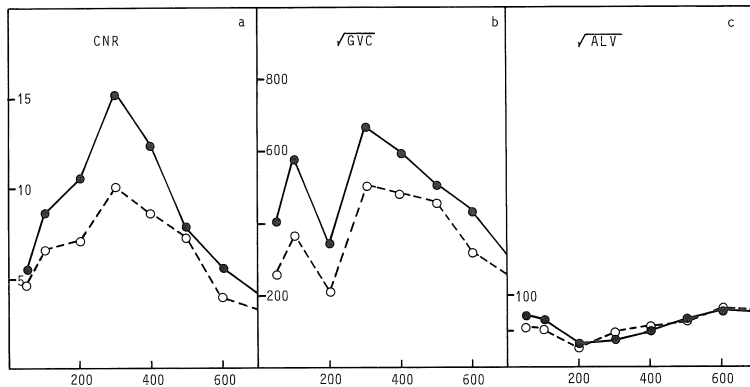


図5 a. Mark-JIR法による a タイプファントム像のCNR
CVC の平方根
ALV の平方根

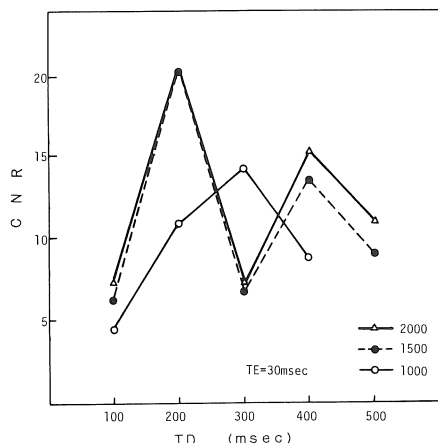


図6 MRT-50A IR法によるbタイプファントム像のCNR 図中の数字はTR(msec)

エコーになると低下し、シングルエコー像ではTEが長いほうがよりCNRの高い画像が得られた。

図4に頭部SE画像でのCNRを示した。頭部画像ではTEによる変化の様子がファントム像の場合と全く逆転した。

(2) IR 画像における CNR

Mark-J により a タイプ phantom を用いて、撮像し CNR の図 5 a を得た。図 5 b,c に CNR

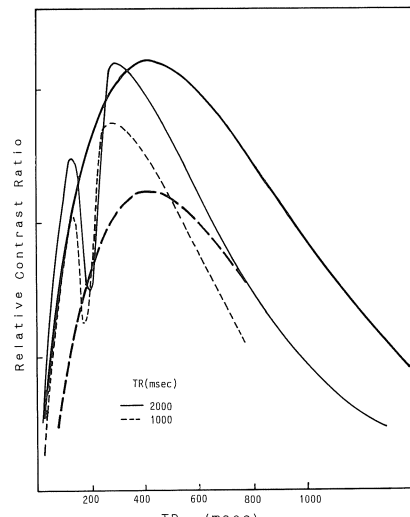


図7 2種類のIR法計算式によるContrast ratio
太線：MRT-50 A, 細線：Mark-J

の計算因子である ALV と GVC を分けてプロットした。また、MRT-50 A により b タイプファントムを用いて図 6 を得た。夫々に対し、比較の為次式により定義したコントラスト指数を計算により求め図 7 に示した。

MR 画像におけるコントラスト・ノイズ比 (CNR) の評価

(TD)² ⑤

TDは反復時間、 I_{IR} は夫々の機種の信号値を得る式で次に示す。

Mark-J:

$$I_{IR}(TD, T_1) = | 1 - 2 e^{-TD/T_1} + e^{-TR/T_1} |$$

MRT-50 A:

$$I_{IR}(TD, T1) = (1 - 2e^{-TD/T1} + 2e^{-(TR-TE/2)T1} - e^{-TR/T1}) \times e^{-TE/T2} \dots \dots \dots (8)$$

TR は繰返し時間である。

両機種による人体頭部の IR 像を図 8 に示す。ファントムによる CNR と傾向的によく一致している。

(3) FE 画像による CNR

MRT-50 A について勾配磁場エコー法による像の CNR 評価を試みた。b タイプファントムによりフリップアングル (FA) を種々に変化させて撮像した。現在のところ $TE = 14 \text{ msec}$ 固定で用いられている。MRT-50 A で $TE = 14 \text{ msec}$ の表示は実際には 13.4 msec で水と脂肪の in phase となるところである。これらにより CNR を計算し、図 9 を得た。

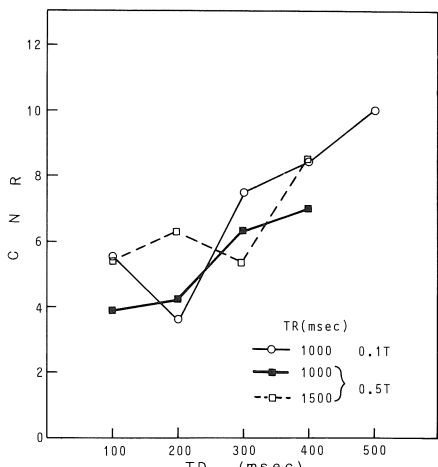


図8 IR法による人体頭部像のCNR

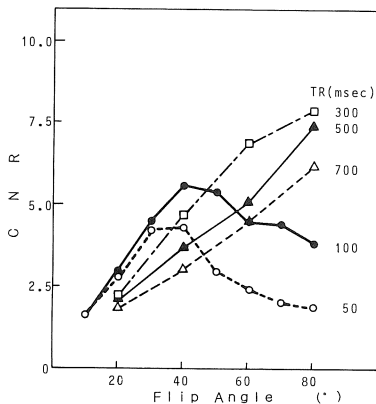


図9 FE法によるbタイプファントムのCNR
(FAによる変化)

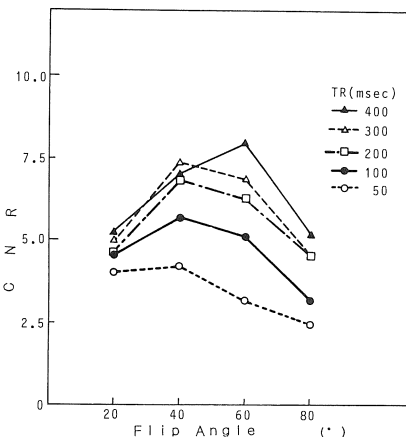


図10 FE法による人体頭部像のCNR(FAによる
変化)

5 者 窒

(1) SE 画像における CNR

用いたcタイプのファントムはT2値をコントロールしてあるファントムであるが、T1計算画像からT1値を求めた所、約45-180 msecであった。人体頭部でのT1値は例えば0.5 T

の装置で、300-700 msec であった。SE 画像の場合、ファントムでは T 1 値が短く、あまり影響を受けず T 2 の違いによるコントラストがつくが、人体頭部では T 1 の影響が無視できないし、TE が短い場合には SR 像に近い T 1 強調画像となり、CNR が高くなると思われる。また、スライス巾 1 cm で撮影したが、ファントムではスライス巾中の物質は変わらないが、人体頭部では 1 cm 巾とするとその中に含まれる組織が同一種類ではない場合があり種々のパラメータが入り込む原因となる。そのためファントムと頭部像の CNR が異なった傾向を示したものと思われる。臨床的には T 2 でのコントラストを期待して、TE 80 msec 前後を使うことが多いが、図 3, 4 をみる限り、期待どうりではないことがあると推測される。

このファントムと頭部の T 1 の違いが、用いた 2 機種による CNR の違いにも影響していると思われる。すなわち、ファントムでは T 1, T 2 値とも両機種により変わらないため磁場が高いほうがコントラストがつく。しかし、頭部像では TR によっては高磁場のほうがコントラスト的に不利になる場合があるという結果がこの程度の磁場の違いでも顕著に現れた。

(2) IR 画像における CNR

IR 画像では信号強度の極性をどう扱っているかという、装置又は計算方法による違いが、特に MR 画像の相対信号強度が 0 付近となる TD 200-300 msec 当たりの CNR に著しく反映された。0.1 TMark-J では(-)部の折返しをしているため図 5 a に示したように TD 200 msec 当たりに最もコントラスト指数の低いところがある。しかし、ファントムを用いての撮影像では図 5 b に示した様に②式第 2 項の GVC の 1 / 2 乗は当然ながらコントラスト指数と実によい一致を示すが、第 1 項 ALV の影響により図 6 a の様に著しい変化は示さなくなってしまった。

一方、0.5 T MRT-50 A では絶対値をとらな

いため、その様な特異点はない筈であるが、コントラスト指数曲線においては特異点は持たないのに図 6 に示すとおり TR が 1500 msec 以上の CNR では TD 300 msec に谷ができた。これは MRT-50 A ではコントラスト確保のために絶対値をとらない代り、あるパルスシーケンスで撮影したときに、その画面内で最も信号強度の大きい領域からでてくる MR 信号を正にするという操作をソフト的に行っている為であると思われる。従って、 I_{IR} を求める式をそのまま計算したコントラスト指数とは全く異なった様子を示した。

人体頭部像の CNR はそれぞれファントム像と同様な結果を示し、ファントム撮影による最適パルスシーケンスの推定は可能と考える。

(3) FE 像における CNR

CNR の比較では、図 9 に明らかなように TR が短い場合の最適 FA は約 40° を示した。また TR の変化でみると TR が 300 msec 以上の場合には CNR としてはむしろ FA 90° を使ったほうが高くなる。

人体頭部画像での CNR の変化は(図 10)、TR 300 msec 程度までで最も高い CNR を示す FA は約 40°、TR が 400 msec を越した場合ではより大きな FA のほうが CNR が高くなる傾向にある。ファントム及び頭部の T 1 値が 300-700 であることを考えれば T 1 > TR で有利である FE 法では当然の結果であると言える。NiSO₄ ファントムにより最も CNR の高い条件を模索するには可能と考えられる。

6. ま と め

① IR 画像撮影において、a, b タイプのモザイクファントムの撮影では T 1 の差をよく反映した。また健常人ボランティアによる頭部撮影でのパラメータの違いが CNR に比較的良く反映された。

MR 画像におけるコントラスト・ノイズ比 (CNR) の評価

- ② c タイプのモザイクファントムの SE 画像では TE の変化により CNR も変化した。適切なパラメータを用いることにより T2 値の差をよく反映する。
- ③ 頭部撮影の SE 画像ではスライス厚内の様々な要素が CNR に影響する。
- ④ FE 画像では b タイプのモザイクファントム、頭部の撮像共 T1 値の差をよく反映し、パラメータの違いが CNR に比較的良く反映された。
- ⑤ IR 画像、FE 画像ではモザイクファントムの撮像による最適パルスシーケンスの推定は有効と思われる。
- ファントム画像での CNR 算出には特別なソフトウェアが不要なので、全ての MR 装置に適用できる。よって、ファントムを標準化すれば装置の性能評価の一つの指標となり得、臨床画像に於いてコントラストのある画像を得るためにパルス系列の最適化に応用出来ると考えられる。

文 献

- 1) Howard R.Hart, Jr., Paul A.Bottomley, William A. Edelstein, et al.: Nuclear Magnetic Resonance Imaging : Contrast-to-Noise Ratio as a Function of Strength of Magnetic Field, AJR, 141 : 1195-1201, 1983
- 2) Felix W.Wehrli, James R.MacFall, Deborah Shutts, et al.: Mechanisms of Contrast in NMR Imaging, J Comput Assist Tomogr, 8 : 369-380, 1984
- 3) R.Edward Hendrick, J.Bruce Knelland and David D.Stark: Maximizing signal-to-noise and contrast-to-noise ratios in flash imaging, Magnetic Resonance imaging, 5 : 117-127, 1987
- 4) L.O. Morgan and A.W. Nolle: Proton spin relaxation in aqueous solutions of paramagnetic ions, J.Chem.Phys. 31 : 365-368, 1959

本研究は朝日生命成人病研究助成金及び厚生省がん研究助成金（竹中班）の援助を受けた。

Evaluation of contrast-to-noise ratio (CNR) in MR-imaging

Kanae Nishizawa

(Department of Radiology, Kyorin University
School of Medicine)

Jun-ichi Hachiya

(Department of Radiology, Kyorin University
School of Medicine)

Yoshiro Furuya

(Department of Radiology, Kyorin University
School of Medicine)

Nobuo Fukuda

(Devision of clinical reserch, Nationl Institute of
Radiological Sciences)

Mahiro Endo

(Devision of clinical reserch, Nationl Institute of
Radiological Sciences)

Contrast-to-noise ratio (CNR) globally defined on an arbitrary image was evaluated based on the analysis of variance of the signal intensity distribution in the image.

The experiments were performed with N bottles of water phantom containing different concentration of NiSO_4 solution. Mean and the variance of signal intensity of the small region of interest (ROI) were measured by using magnetic resonance imager. Great ROI of an image was assumed to be an assembly of N small ROIs. CNR was calculated by the ratio of between-group variance and within-group variance of the signal intensity in the great ROI. CNR of brain MR image was calculated with normal volunteer and compared with the CNR of the phantoms in the same imaging conditions. Suitable pulse sequence for contrast were considerd based on these results.